

Методические материалы для расчёта пропускной способности сетей LTE

1. Структуры ресурсных блоков в субкадрах

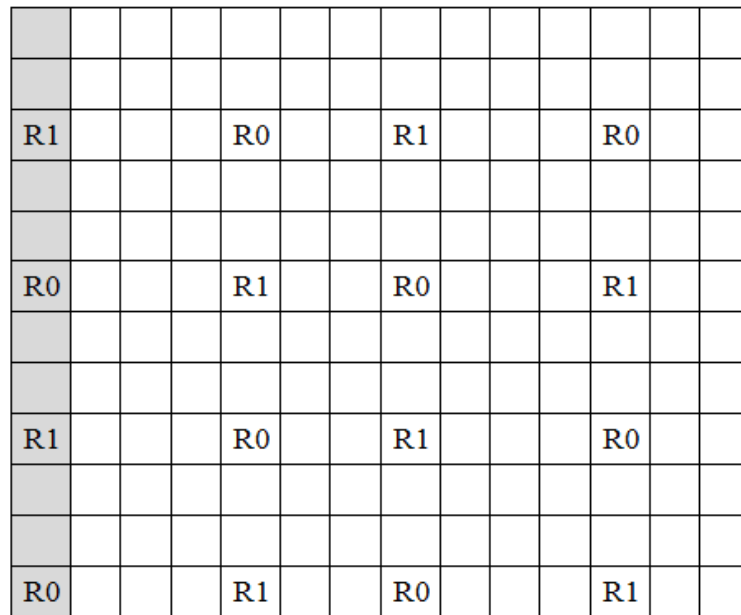


Рис. 1 Структура РБ при передаче вниз при работе 2-х антенн

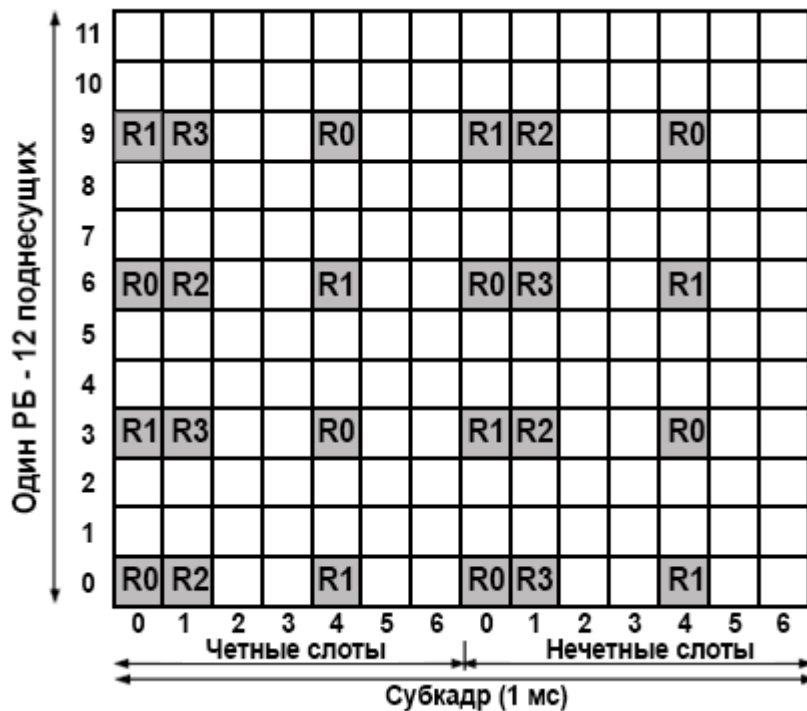


Рис. 2 Структура РБ при передаче вниз при работе 4-х антенн

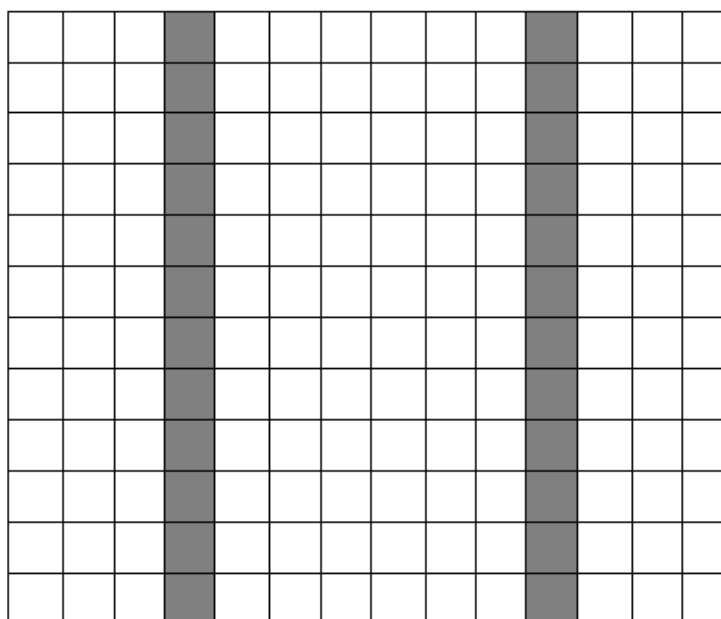


Рис. 3 Структура РБ при передаче вверх

Таблица 1. Форматы передачи трафика без использования 256-QAM

Индекс CQI	Модуляция	$R_{\text{код}} \times 1024$	Эффективность
1	4-QAM	78	0,1523
2	4-QAM	120	0,2344
3	4-QAM	193	0,3770
4	4-QAM	308	0,6010
5	4-QAM	449	0,8770
6	4-QAM	602	1,1758
7	16-QAM	378	1,4766
8	16-QAM	490	1,9141
9	16-QAM	616	2,4063
10	64-QAM	466	2,7305
11	64-QAM	567	3,3223
12	64-QAM	666	3,9023
13	64-QAM	772	4,5234
14	64-QAM	873	5,1152
15	64-QAM	948	5,5547

Таблица 2. Форматы передачи трафика при использовании 256-КАМ

СQI индекс	Модуляц ия	Ркод x 1024	Эффективнос ть
0	Не используют		
1	4-ФМ	78	0,1523
2	4-ФМ	193	0,3770
3	4-ФМ	449	0,8770
4	16-КАМ	378	1,4766
5	16-КАМ	490	1,9141
6	16-КАМ	616	2,4063
7	64-КАМ	466	2,7305
8	64-КАМ	567	3,3223
9	64-КАМ	666	3,9023
10	64-КАМ	772	4,5234
11	64-КАМ	873	5,1152
12	256-КАМ	711	5,5547
13	256-КАМ	797	6,2266
14	256-КАМ	885	6,9141
15	256-КАМ	948	7,4063